

Fig. 1. Différentes formes de bulles observées au cours de la mise au point du banc d'essais.

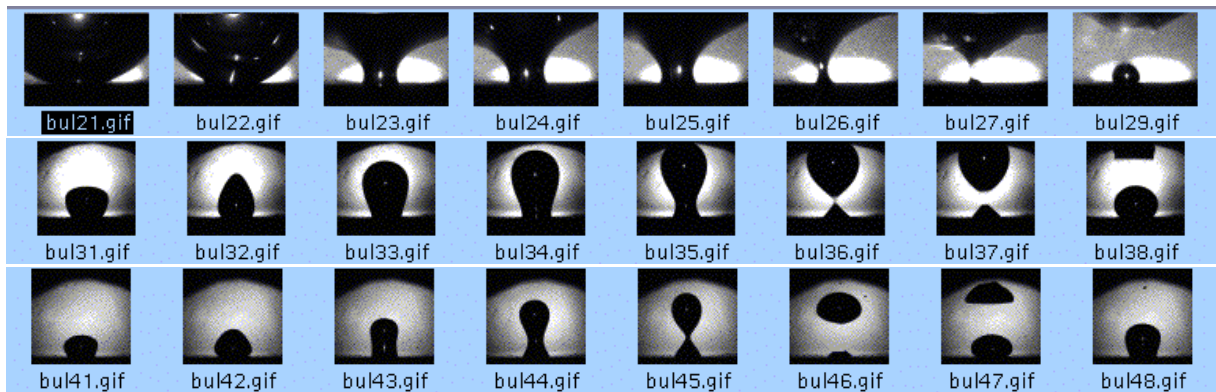


Fig. 2. Trois séries d'images de grossissement et de décrochement des bulles de vapeur

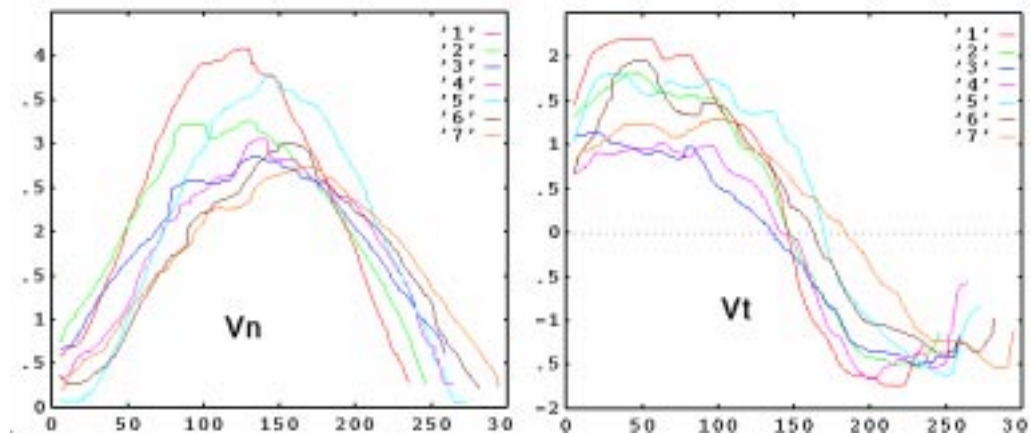


Fig. 3. Evolution des vitesses de l'interface fluide-vapeur dans un coupe verticale pour une bulle en grossissement: V_n vitesses normales et V_t vitesses tangentielles.

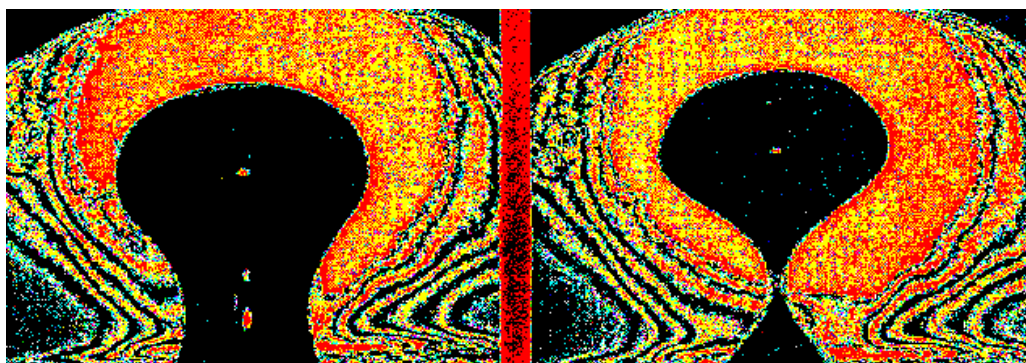


Fig. 4. Images qualitatives des iso-densités dans le fluide entourant une bulle en décrochement. Dans la zone grise la température est inférieure à celle de saturation et la bulle s'effondre.